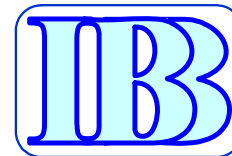


# Activitatea antibacteriana a unor nanostructuri de $\text{TiO}_2$ simple sau dopate

Madalin Enache<sup>1</sup>, Corina Vacaroiu<sup>1</sup>, Gabriela Popescu<sup>1</sup>, Lucia Dumitru<sup>1</sup>,  
Aurelia Brezeanu<sup>1</sup>, Mariuca Gartner<sup>2</sup>, Mihai Anastasescu<sup>2</sup>

1 = Institutul de Biologie Bucuresti al Academiei Romane

2 = Institutul de Chimie Fizica "I. Murgulescu" al Academiei Romane



## **Scopul studiului:**

- **Identificarea unei actiuni potentiale de inhibare a dezvoltarii bacteriilor in functie de:**
  - **morfologie**
  - **compozitie chimica**

Nanostructuri

TiO<sub>2</sub>

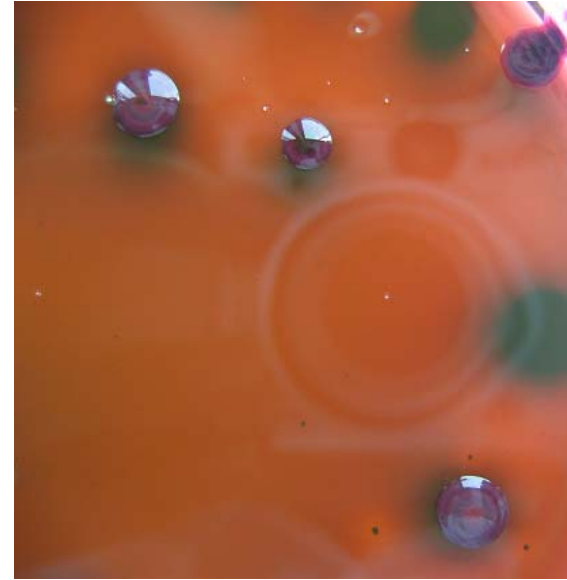
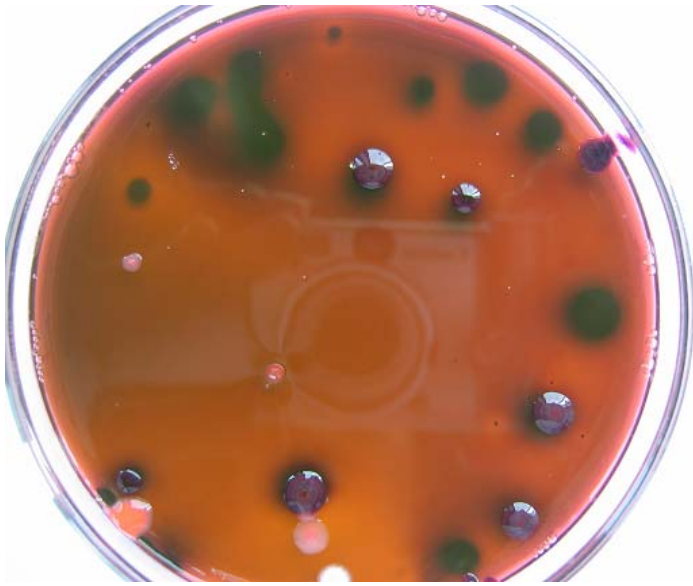
**PEG (0.01M - 0.1M) +  
Fe (1.23% sau 7%)**

**dopate cu N**

**tratament termic (500–1000°C)**

- efectul compozitiei nanostructurii TiO<sub>2</sub> asupra cresterii *E. coli*  
-aderenta celulelor microbiene la suprafata structurilor studiate (spectrofotometric)

- activitatea antibacteriana a nanostructurilor (u.f.c / lumina artificiala)



*Escherichia coli* (Levine)

izolata din efluent de la statia de  
tratatare a apelor uzate Buzau

<b>Sample No.</b>	<b>Fe (%)</b>	<b>PEG<sub>600</sub> (M)</b>	<b>Time of Thermal Treatment (h)</b>
<b>1</b>	<b>1.23</b>	<b>0.06</b>	<b>1</b>
<b>2</b>		<b>0.029</b>	
<b>3</b>		<b>0.014</b>	
<b>4</b>		<b>0.11</b>	
<b>5</b>		<b>0.00</b>	
<b>6</b>	<b>7</b>	<b>0.069</b>	<b>3</b>
<b>7</b>		<b>0.017</b>	
<b>8</b>	<b>Glass sample, free of coatings</b>		

# Efectul compozitiei

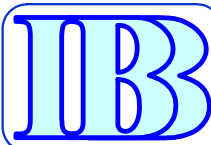


Fig. 1 Dinamica dezvoltarii tulpinii *E. coli* in functie de compozitia nanofilmelor

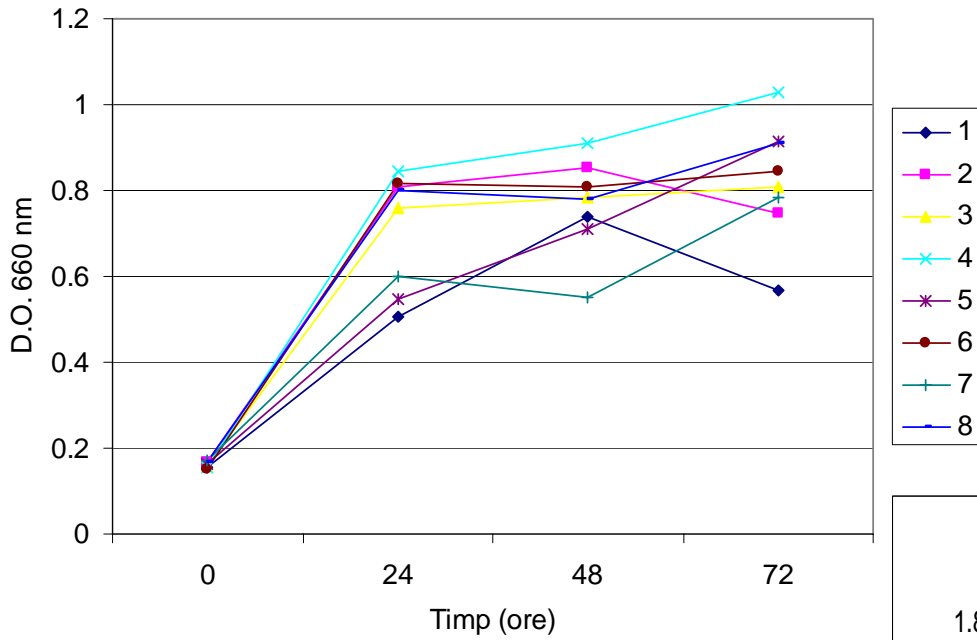


Fig. 3 Aderenta bacteriei *E. coli* la nanofilme depuse pe sticla

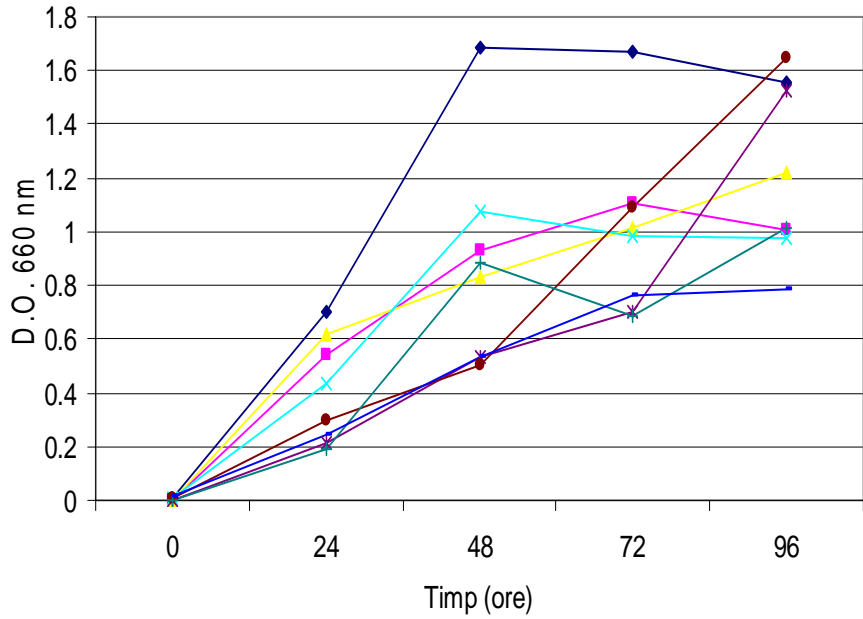


Fig. 2 Efectul inhibitor al compozitiei nanofilmului asupra dezvoltarii tulpinii *E. coli*

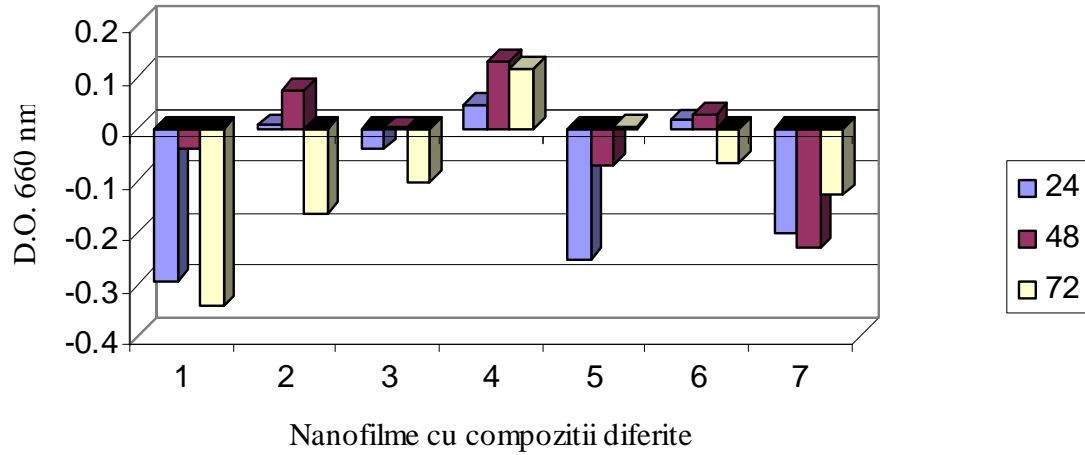
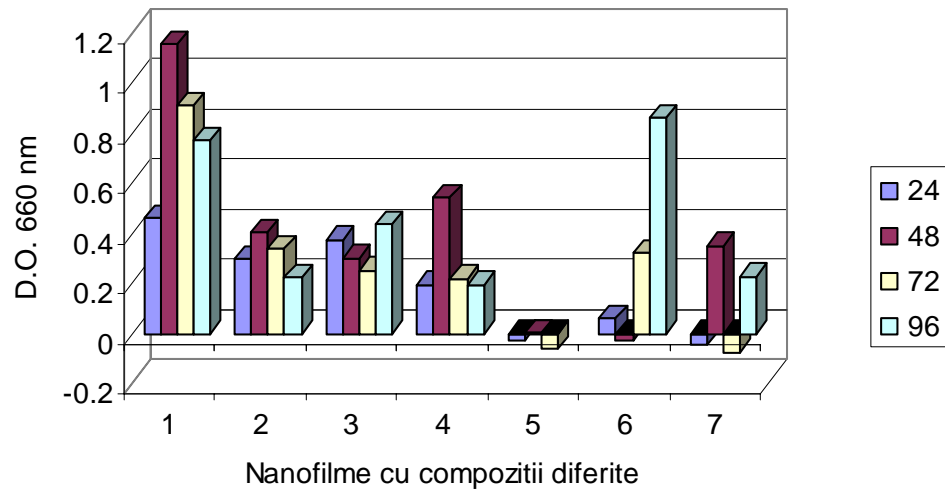
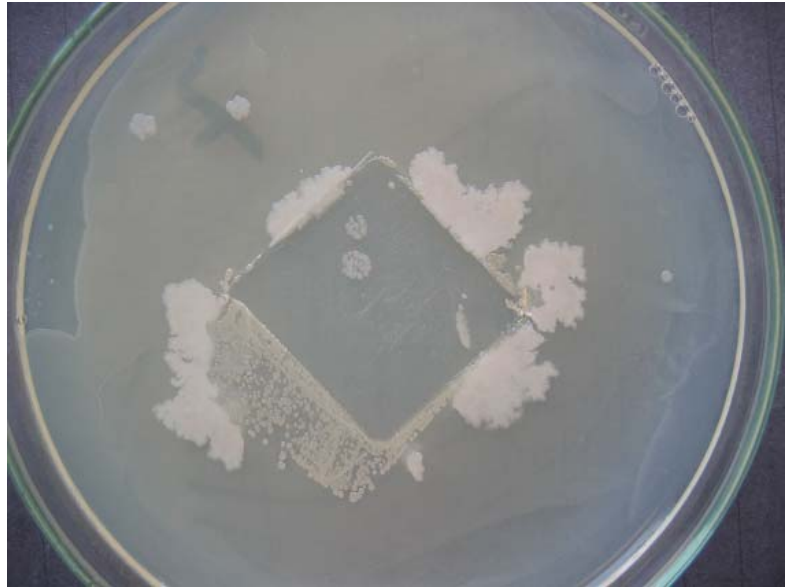
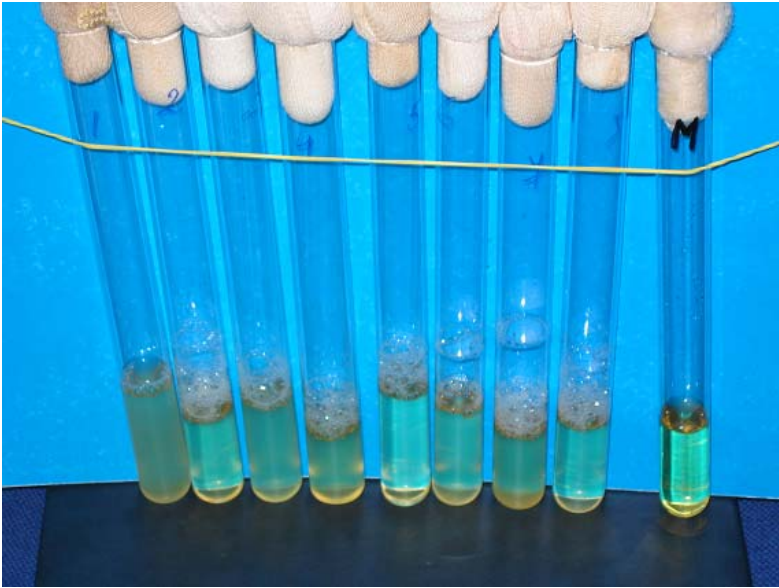


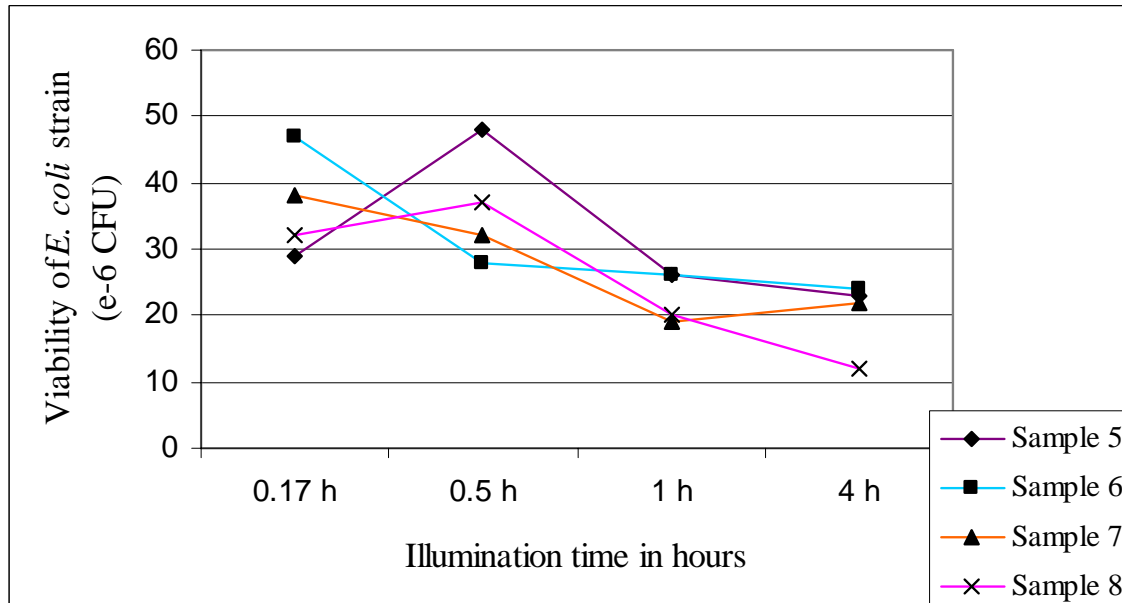
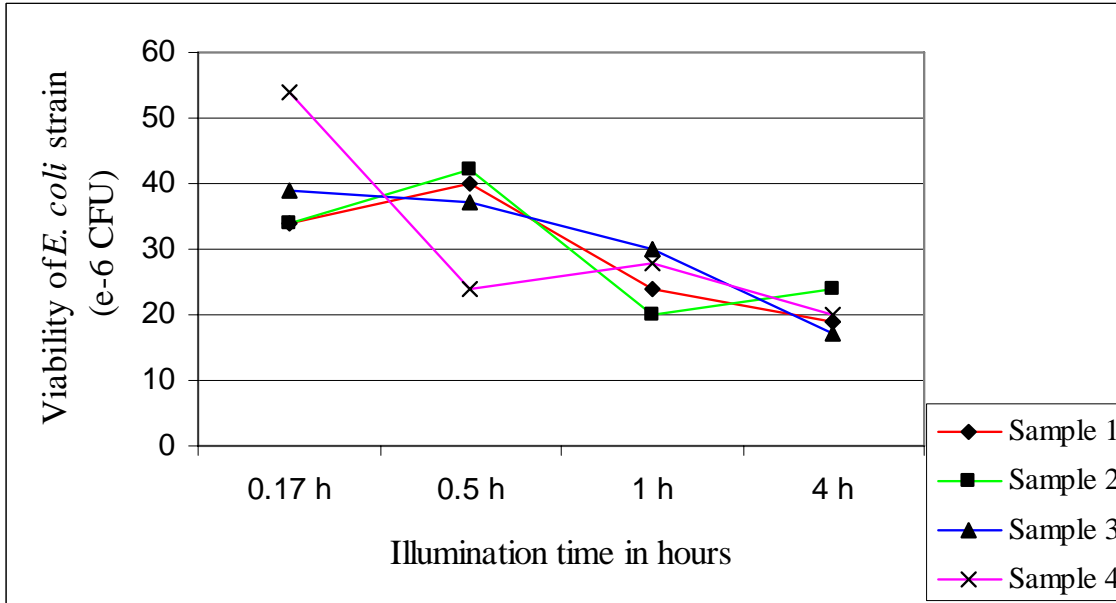
Fig. 4 Viabilitatea tulpinii *E.coli* la suprafata nanofilmelor depuse pe sticla





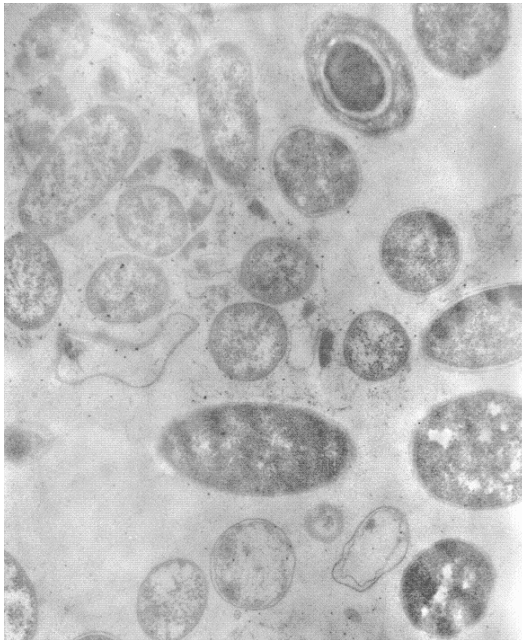


<b>Number of sample</b>	<b>Number of layers</b>	<b>Temperature of thermal treatment (°C)</b>	<b>Atmosphere of the thermal treatment</b>	<b>Time of thermal treatment (h)</b>	<b>*N content (%)</b>
<b>1</b>	<b>5</b>	<b>500</b>	<b>O<sub>2</sub></b>	<b>2</b>	<b>0</b>
<b>2</b>			<b>NH<sub>3</sub></b>		<b>0</b>
<b>3</b>		<b>600</b>	<b>NH<sub>3</sub></b>		<b>0</b>
<b>4</b>			<b>O<sub>2</sub></b>		<b>34.5</b>
<b>5</b>	<b>3</b>	<b>400</b>	<b>NH<sub>3</sub></b>		<b>0</b>
<b>6</b>		<b>500</b>			<b>0</b>
<b>7</b>		<b>800</b>			<b>20</b>
<b>8</b>		<b>1000</b>			<b>37.91</b>

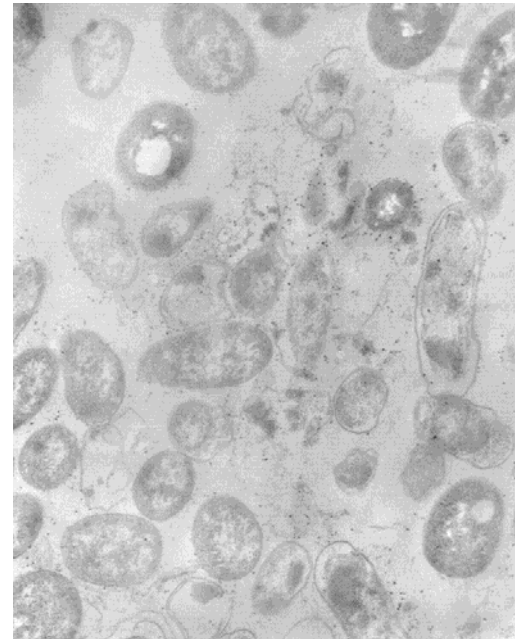




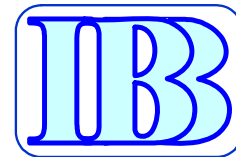
**Martor**



**V3 (5 straturi)**



**V8 (3 straturi)**



## **CONCLUZII**

- **structurile testate prezinta activitate antibacteriana**
- **aceasta activitate este corelata cu compozitia chimica si morfologia nanostructurii**